

УДК 552.16

## ГИПЕРСТЕН В АССОЦИАЦИИ С СИЛЛИМАНИТОМ И КВАРЦЕМ КАК ИНДИКАТОР УСЛОВИЙ МЕТАМОРФИЗМА

© 2003 г. К. К. Подлесский

Представлено академиком А. А. Маракушевым 03.09.2002 г.

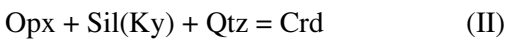
Поступило 10.09.2002 г.

Ассоциация гиперстена с силлиманином издавна рассматривается петрологами как признак глубинного формирования содержащих ее гранулитов и даже дала название соответствующей метаморфической фации [5], а повышенное содержание  $\text{Al}_2\text{O}_3$  в ортопироксене ( $>7$ –8 мас. %) считается индикатором так называемого сверхвысокотемпературного метаморфизма (900–1100°C [10]). Согласование термодинамических свойств минералов постоянного состава и конечных членов твердых растворов со свойствами смешения в системе  $\text{FeO}-\text{MgO}-\text{Al}_2\text{O}_3-\text{SiO}_2$  (FMAS), проведенное в работах [8, 9, 11, 15], дает возможность уточнить положение границ устойчивости этого парагенезиса и характер влияния температуры на глиноземистость гиперстена.

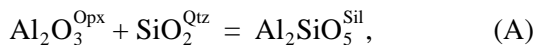
Если не учитывать реакций с участием сапфира, которые будут рассмотрены чуть позже, в краевой системе  $\text{MgO}-\text{Al}_2\text{O}_3-\text{SiO}_2$  (MAS) область устойчивости ассоциации  $\text{Opx} + \text{Sil} + \text{Qtz}$  ограничивается реакциями\*



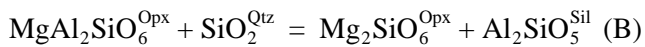
верхний предел по давлению и



нижний предел (рис. 1). В широкой полосе  $PT$ -условий между этими реакциями глиноземистость ортопироксена регулируется реакцией



если пользоваться моделями твердого раствора ортопироксена [8, 9], или реакцией

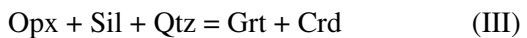


\* Обозначим минералов и компонентов твердых растворов, как в работах [6, 9, 13, 14]. Параметры состава Opx: магнезиальность  $N_{\text{Mg}} = 100\text{Mg}/(\text{Mg} + \text{Fe})$ ; глиноземистость,  $N_{\text{OK}} = 100\text{Al}/(\text{Al} + 2\text{Mg} + 2\text{Fe})$ .

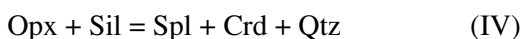
Институт экспериментальной минералогии  
Российской Академии наук,  
Черноголовка Московской обл.

для модели [11, 15]. Соответствующие изоплеты  $N_{\text{OK}}$  на  $PT$ -диаграмме имеют весьма крутой наклон, что свидетельствует о зависимости глиноземистости гиперстена в парагенезисе с силлиманином и кварцем главным образом от температуры. Хорошее разрешение изоплет демонстрирует возможность использования реакции (A) или (B) в качестве геотермометра.

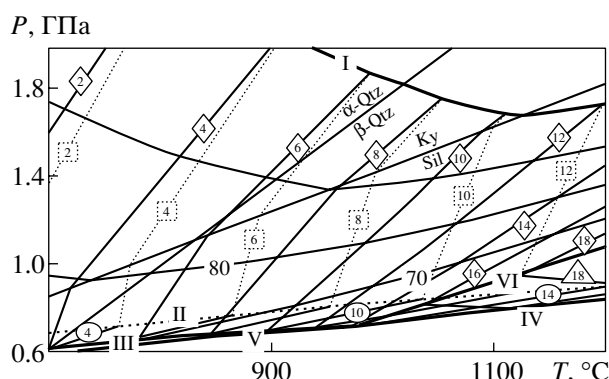
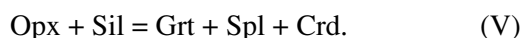
В системе FMAS нижняя по давлению граница устойчивости ассоциации  $\text{Opx} + \text{Sil} + \text{Qtz}$  определяется реакцией



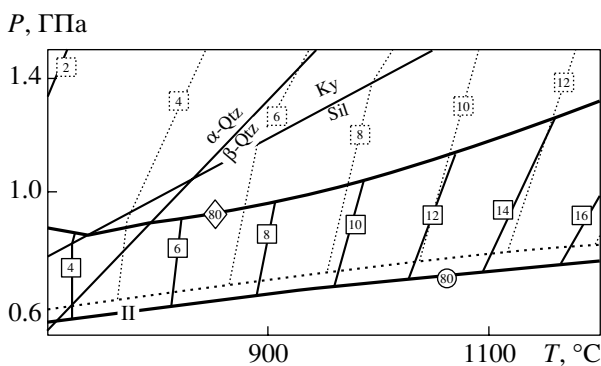
при относительно низкой температуре и реакцией



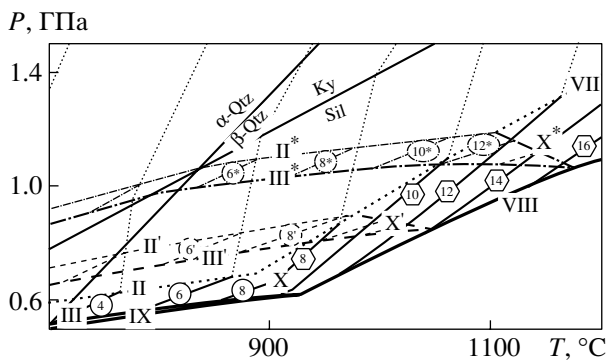
в высокотемпературной области. В относительно низкотемпературных условиях в отсутствие кварца устойчивость  $\text{Opx} + \text{Sil}$  определяется реакцией



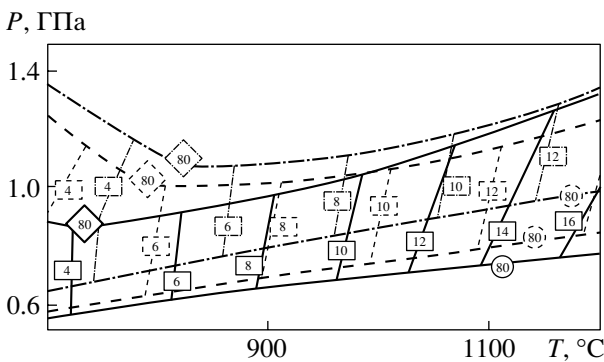
**Рис. 1.** Фазовые отношения гиперстен-силлиманитовых ассоциаций в системе FMAS, рассчитанные по [9] без учета реакций с сапфирином. Здесь и далее реакции пронумерованы, как в тексте, и обозначены жирными линиями. Изоплеты для  $\text{Grt} + \text{Opx} + \text{Sil} + \text{Qtz}$  – сплошные тонкие линии, значения  $N_{\text{OK}}$  заключены в ромб,  $N_{\text{Mg}}$  – необведенные;  $\text{Crd} + \text{Opx} + \text{Sil} + \text{Qtz}$  –  $N_{\text{OK}}$  в овале;  $\text{Spl} + \text{Opx} + \text{Sil} + \text{Qtz}$  –  $N_{\text{OK}}$  в треугольнике. Тонкие точечные линии – изоплеты  $N_{\text{OK}}$  (в квадрате) для  $\text{Opx} + \text{Sil} + \text{Qtz}$  в MAS.



**Рис. 2.** Границы устойчивости  $\text{Opx} + \text{Sil} + \text{Qtz}$ , рассчитанные при  $N_{\text{Mg}} = 80$  по [9]. Верхний по давлению предел – изоплета для  $\text{Grt} + \text{Opx} + \text{Sil} + \text{Qtz}$  (значение  $N_{\text{Mg}}$  заключено в ромб), нижний –  $\text{Crd} + \text{Opx} + \text{Sil} + \text{Qtz}$  ( $N_{\text{Mg}}$  в овале). Линии постоянной глиноземистости гиперстена сплошные, в квадрате –  $N_{\text{OK}}$ . Точечные линии – как на рис. 1.

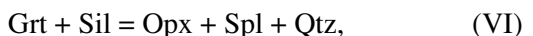


**Рис. 3.** Фазовые отношения гиперстен-силлиманитовых ассоциаций в системе FMAS, рассчитанные по [9] с учетом реакций с Fe-содержащим сапфирином (по [14]) и влияния флюида на стабилизацию кордиерита. Линии постоянной глиноземистости гиперстена: для  $\text{Crd} + \text{Opx} + \text{Sil} + \text{Qtz}$  значения  $N_{\text{OK}}$  в овале;  $\text{Spr} + \text{Opx} + \text{Sil} + \text{Qtz}$  – в шестиугольнике. Звездочка – расчет с водонасыщенным кордиеритом (штрихпунктир), с верным штрихом –  $\text{Crd} \cdot 0,5\text{H}_2\text{O}$  (пунктир).



**Рис. 4.** Сравнение границ устойчивости  $\text{Opx} + \text{Sil} + \text{Qtz}$ , рассчитанных при  $N_{\text{Mg}} = 80$  по [9] – сплошные линии, по [8] – штрих-пунктир, по [11, 15] – пунктиры. Обозначения изоплет – как на рис. 2.

В отличие от системы MAS, где состав ортопироксена в ассоциации  $\text{Opx} + \text{Sil} + \text{Qtz}$  фиксирован при фиксированных  $PT$ -условиях, что позволяет отразить его изменение с помощью изоплет на двухмерной  $PT$ -диаграмме, для системы FMAS такое возможно лишь для ассоциаций  $\text{Grt} + \text{Opx} + \text{Sil} + \text{Qtz}$ ,  $\text{Crd} + \text{Opx} + \text{Sil} + \text{Qtz}$  и  $\text{Spr} + \text{Opx} + \text{Sil} + \text{Qtz}$  (рис. 1). Поле устойчивости  $\text{Opx} + \text{Sil} + \text{Qtz}$ , таким образом, делится реакцией (II), ограничивающей стабильность кордиерита, и реакцией

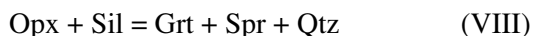


которая разграничивает гранат- и шпинель-содержащие ассоциации. Очевидно, что в таких ассоциациях четырех минералов изменение глиноземистости ортопироксена сопряжено с изменением его магнезиальности и составов других Fe-Mg-фаз, и зависимость этого изменения с температурой и давлением имеет более сложный характер. В частности, важно обратить внимание на сужение поля устойчивости  $\text{Opx} + \text{Sil} + \text{Qtz}$  и смещение в низкотемпературную область изоплета  $N_{\text{OK}}$  при снижении магнезиальности (рис. 2). При анализе условий образования гранулитов следует учитывать, что относительно более железистый гиперстен в парагенезисе с силлиманином и кварцем неустойчив ниже определенных глубин и его высокая глиноземистость не обязательно говорит о сверхвысокой температуре метаморфизма – по крайней мере, не такой высокой, как требует стабильность чисто магнезиального ортопироксена.

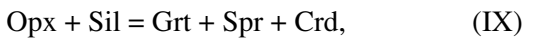
Картина еще меняется, если ввести в круг рассматриваемых минералов сапфирин и учсть влияние флюида на стабилизацию кордиерита (рис. 3). В системе MAS реакция



определяет нижний по давлению предел устойчивости ортопироксена с силлиманином при относительно высокой температуре (в низкотемпературной области – это реакция (II)). В системе FMAS, если пользоваться предварительными (недостаточно обоснованными экспериментально) данными по термодинамике Fe-содержащего сапфира [14], шпинельсодержащие реакции (IV) и (V) нестабильны и сменяются реакциями



и



которые, сужая поле стабильности  $\text{Opx} + \text{Sil}$ , обуславливают появление соответствующих полей сапфирин-содержащих ассоциаций – в частности,  $\text{Spr} + \text{Opx} + \text{Sil} + \text{Qtz}$  в области относительно высоких температур. Поле этой ассоциации отделяется от поля  $\text{Crd} + \text{Opx} + \text{Sil} + \text{Qtz}$  реакцией



**Таблица 1.** Оценка температуры по составу гиперстена в ассоциации с силлиманитом и кварцем из гранулитов некоторых метаморфических комплексов России

№ п.п.	№ обр.	Другие минералы в образце	$N_{Mg}$	$N_{OK}$	$T_1$	$T_2$	$T_3$
Алданский щит, Сутамский комплекс							
1	E-1252-6	Grt–Crd–Bt–Kfs–Rt	63.3 <sup>a)</sup>	7.4 <sup>a)</sup>	$815 \pm 9$	$915 \pm 6$	$795 \pm 12$
2	»		63.5 <sup>b)</sup>	5.2	$737 \pm 3$	$810 \pm 4$	$685 \pm 9$
3	»		63.7 <sup>b)</sup>	6.3	$777 \pm 4$	$865 \pm 5$	$743 \pm 10$
4	»		65.1 <sup>c)</sup>	9.3	$882 \pm 16$	$1001 \pm 8$	$895 \pm 13$
5	E-1571/11	Crd–Bt–Kfs–Rt	68.0	8.2	$858 \pm 12$	$955 \pm 8$	$855 \pm 12$
6	E-1571-23	Grt–Bt–Pl–Rt	66.3	8.1	$849 \pm 12$	$949 \pm 7$	$842 \pm 12$
7	E-395	Grt–Crd–Bt–Pl–Kfs	73.6	9.9	$935 \pm 18$	$1034 \pm 11$	$960 \pm 13$
8	Сут-28	Grt–Crd–Bt–Pl–Kfs	68.7	8.3	$863 \pm 13$	$959 \pm 8$	$861 \pm 12$
9	»		70.4	7.7	$851 \pm 11$	$936 \pm 8$	$843 \pm 12$
10	Сут-61	Grt–Bt–Pl–Kfs–Rt	73.8	8.2	$881 \pm 13$	$962 \pm 9$	$882 \pm 12$
11	»		77.4	8.1	$891 \pm 13$	$962 \pm 10$	$894 \pm 12$
12	»		77.6	7.8	$880 \pm 12$	$946 \pm 9$	$878 \pm 12$
13	»		78.9	8.3	$901 \pm 14$	$969 \pm 10$	$907 \pm 13$
	B-114/3	Grt–Bt–Pl–Kfs	73.7	9.9	$937 \pm 18$	$1037 \pm 11$	$963 \pm 13$
15	»		74.5	9.1	$912 \pm 15$	$1000 \pm 10$	$926 \pm 13$
Анабарский щит, р. Б. Куонамка							
16	И-568/3а	Crd–Bt–Kfs	74.5	9.4	$924 \pm 16$	$1016 \pm 10$	$943 \pm 13$
Балтийский щит, Центрально-кольский комплекс							
17	231/11	Spr–Spl–Crd–Bt–Kfs	72.3	5.2	$762 \pm 5$	$813 \pm 6$	$721 \pm 9$
18	231/5	Spr–Spl–Crd–Bt–Kfs	73.3	8.0	$871 \pm 12$	$951 \pm 9$	$869 \pm 12$
19	»		72.2	8.4	$883 \pm 13$	$970 \pm 9$	$886 \pm 13$
Становая складчатая область, Чогарский комплекс							
20	Чог-6	Grt–Crd–Bt–Pl–Kfs	71.9	5.8	$787 \pm 7$	$846 \pm 6$	$754 \pm 10$
21	»		74.5	6.1	$806 \pm 8$	$862 \pm 7$	$780 \pm 11$
22	Чог-6б	Grt–Crd–Bt–Pl–Kfs	75.4	8.9	$910 \pm 15$	$994 \pm 10$	$922 \pm 13$
23	»		76.1	9.5	$935 \pm 17$	$1023 \pm 11$	$956 \pm 13$
24	Г-621-Е	Grt–Crd–Pl–Kfs–Rt	75.2 <sup>d)</sup>	10.9	$974 \pm 21$	$1079 \pm 12$	$1014 \pm 14$
25	»		76.4 <sup>e)</sup>	10.0	$950 \pm 18$	$1042 \pm 11$	$978 \pm 13$
26	»		79.9 <sup>k*)</sup>	7.8	$885 \pm 13$	$946 \pm 10$	$886 \pm 12$
27	Ток-18	Grt–Crd–Bt–Pl–Kfs	71.8 <sup>j)</sup>	11.3	$972 \pm 22$	$1092 \pm 12$	$1018 \pm 14$
28	»		72.0 <sup>u)</sup>	8.7	$891 \pm 14$	$982 \pm 9$	$898 \pm 13*$

Примечание. 1–7 – по данным [4], 8–13, 20–23 – по [12], 14–16 – по [3], 17–19 – по [1], 24–26 – по [2], 27–28 – по [6],  $N_{Mg}$  и  $N_{OK}$  пересчитаны из микрозондовых анализов, приведенных авторами.  $T_1$  – расчет при 0.75 ГПа по реакции (A) с использованием данных [9],  $T_2$  – то же с данными [8],  $T_3$  – по реакции (B) с данными [11, 15], разброс значений соответствует изменению давления  $\pm 0.25$  ГПа. <sup>a)</sup> из Opx–Crd-каймы вокруг Grt у контакта с Grt, <sup>b)</sup> из внешней части Opx–Crd-каймы вокруг Grt, <sup>c)</sup> из середины Opx–Crd-каймы вокруг Grt, <sup>d)</sup> из сростков с Sil, <sup>l)</sup> центр крупного зерна, <sup>e)</sup> край крупного зерна, <sup>j)</sup> край зерна в контакте с Sil, <sup>3)</sup> средний из 5 анализов центральных частей крупных зерен, <sup>u)</sup> средний из 8 анализов в краях у контакта с Sil и Qtz.

Учитывая близость положения линий реакций (V) и (IX) на  $PT$ -диаграмме, необходимо соблюдать осторожность при экстраполяции результатов подобного расчета на наблюдаемые в природе соотношения минералов. Достаточно небольшого из-

менения активности компонентов твердых растворов Spl или Spr (например, как в [13] за счет несколько отличной термодинамики Spr), чтобы топология диаграммы изменилась и появилась область устойчивости Opx + Sil + Qtz и с сапфири-

ном, и с шпинелью. Значительное влияние могут оказывать примеси таких компонентов, как Zn и Cr, а также степень окисления Fe [10].

Важная особенность смены гиперстен-силлиманитовых ассоциаций альтернативными кордиеритсодержащими состоит в том, что она связана не только с изменением РТ-условий, но и сильно подвержена влиянию флюида. Это, с одной стороны, усложняет парагенетический анализ соответствующих гранулитов, но, с другой, позволяет делать выводы относительно флюидного режима метаморфизма, а не только оценивать температуру и давление – здесь помогает рассмотрение различных реакций, которые могут протекать одновременно [6]. Стоит отметить, что в “сухих” условиях – в отсутствие флюида или при весьма низкой активности летучих – область устойчивости ортопироксена с силикатом глинозема весьма широка, не ограничивается только высоким давлением и температурой и позволяет рассматривать как стабильный даже экзотический парагенезис Opx + And, обнаруженный в метаморфических породах Центральной Австралии [7]. Лишь в условиях достаточно высокой активности воды, когда резко расширяется поле стабильности кордиерита<sup>\*\*</sup>, гиперстен-силлиманитовые ассоциации смещаются в область повышенного давления и более магнезиального состава ортопироксена.

Вряд ли требует пояснений, что оценка температуры метаморфизма гранулитов по глиноземистости гиперстена в парагенезисе с силлиманитом и кварцем на основе реакции (А) (или (В)) в немалой степени связана с параметрами термодинамической модели твердого раствора ортопироксена. Влияние их выбора иллюстрируют рис. 4 и табл. 1: для одного и того же состава Opx значения температуры, рассчитанные по моделям [8, 9] и [11, 15], могут отличаться на 100°C и более. Тем не менее очевидно преимущество этого геотермометра перед индикаторами условий метаморфизма, которые основаны на распределении компонентов между ортопироксеном и другими фаза-

<sup>\*\*</sup>Здесь не рассматриваются реакции с участием других вносимых минералов, безусловно, в этих условиях еще более ограничивающие устойчивость ассоциации Opx + Sil + Qtz в области более низкой температуры.

ми переменного состава: в реакции (А) (или (В)) участвует только один твердый раствор, и, следовательно, исключаются ошибки, связанные с описанием изменения состава других минералов.

Исследование выполнено при поддержке РФФИ (грант 00-05-64881). Использованы также данные, полученные при поддержке фонда им. А. фон Гумбольдта.

## СПИСОК ЛИТЕРАТУРЫ

1. Авакян К.Х., Геология и петрология Центрально-Кольской гранулито-гнейсовой области архея, М., Наука, 1992. и 168 с.
2. Авченко О.В. Минеральные равновесия в метаморфических породах и проблемы геобаротермометрии. М.: Наука, 1990. 181 с.
3. Кицул В.И., Берёзкин В.И., Дамаскина Г.Д., Шкадинский В.В. Таблицы химических составов и кристаллохимических формул минералов из метаморфических пород и гранитоидов Алданского щита, Якутск: ЯФ СО АН СССР, 1983. 360 с.
4. Кориковский С.П., Кислякова Н.Г. В кн.: Метасоматизм и оруденение, М.: Наука, 1975. С. 314–341.
5. Маракушев А.А., Кудрявцев В.А. // ДАН. 1965. Т. 164. № 1. С. 179–182.
6. Aranovich L.Ya., Podlesski K.K. / In: Evolution of Metamorphic Belts, Oxford: Blackwell Sci. Publ. 1989. P. 45–62.
7. Ballevre M., Hensen B.I., Reynard B. // Geology. 1997. V. 25. № 3. P. 215–218.
8. Berman R.G., Aranovich L.Ya. // Contrib. Mineral. and Petrology. 1996. V. 126. № 1/2. P. 1–24.
9. Gerya T.V., Perchuk L.L., Podlesskii K.K., Kosyakova N.A. // Experim. Geosci. 1996. V. 5. № 2. P. 24–28.
10. Harley S.L., In: What Drives Metamorphism and Metamorphic Reactions? Oxford: Blackwell Sci. Publ., 1998. P. 81–107.
11. Holland T.J.B., Powell R. // J. Metamorph. Geol. 1998. V. 16. № 3. P. 309–343.
12. Perchuk K.L., Oranovich L.Ya., Podlesskii K.K. // J. Metamorph. Geol. 1985. V. 3. № 3. P. 265–310.
13. Podlesskii K.K. // Bochum. Geol. and Geotech. Arb. 1995. H. 44. S. 269–274.
14. Podlesskii K.K. / Experim. Geosci. 1997. V. 6. № 1. P. 22–23.
15. Powell R., Holland T.J.B. // Amer. Miner. 1999. V. 84. № 1/2. P. 1–14.